

## بررسی مقایسه‌ای پروموتراهای ژنهای *Thioredoxin H5* و *Catalase2* در آرابیدوپسیس به منظور تعیین نحوه کارکرد آنها در پاسخ به تنشهای زیستی و غیر زیستی

زهرا زیستی<sup>۱\*</sup> و روح‌اله شاملو دشت پاگردی<sup>۲</sup>

<sup>۱</sup> داراب، دانشگاه شیراز، دانشکده کشاورزی و منابع طبیعی، بخش اگرو‌اکولوژی

<sup>۲</sup> شیراز، دانشگاه شیراز، دانشکده کشاورزی، بخش زراعت و اصلاح نباتات

تاریخ دریافت: ۹۴/۷/۱۹ تاریخ پذیرش: ۹۵/۴/۲۷

### چکیده

به منظور بررسی نقش عناصر تنظیمی سیس نواحی پروموتوری بر الگوی بیان ژنهای *Thioredoxin H5* (*CAT2*) و *Catalase 2* (*TRX5*) در گیاه آرابیدوپسیس در پاسخ به تنشهای مختلف زیستی و غیر زیستی، توالی پروموتوری ژنهای مورد نظر، عناصر تنظیمی سیس موجود در آنها و داده‌های مربوط به بیان این ژنهای در تنشهای مختلف به ترتیب با استفاده از Phytozome و The Bio-Array Resource for Plant Biology و PlantCARE دریافت گردید. به منظور تعیین تفاوت‌های معنی‌دار در تعداد تکرارهای هر کدام از عناصر تنظیمی سیس بین پروموتراها از آزمونهای آماری مختلف موجود در ابزار بیوانفورماتیک IDEG6 استفاده شد. نتایج نشان داد که ۸ عنصر تنظیمی شامل ARE, CAAT-box, Unnamed\_4, ABRE, Box-W1 و TATA-box element در پاسخ به پروموتور *CAT2* وجود دارای تعداد تکرار متفاوت و معنی‌داری بودند. به نظر می‌رسد وجود تعداد بیشتری از عناصر اختصاصی تنظیمی پاسخ به پاتوزن (W box) و پاسخ به اکسین (*TGA-element*), ژن *TRX5* را برخلاف ژن *CAT2* قادر به پاسخ به تنش زیستی می‌کند. همچنین وجود تعداد تکرارهای متفاوتی از عنصر تنظیمی اختصاصی پاسخ به اکسین (*TGA-element*) در پروموتور ژن *TRX5* و عناصر تنظیمی پاسخ به هوازی (ARE) و پاسخ به آبسزیک اسید (ABRE) در پروموتور ژن *CAT2* بخشی از الگوی بیان این دو ژن را در پاسخ به تنشهای غیر زیستی توجیه نمود. بر اساس این نتایج، *TRX5* هم در پاسخ به تنشهای زیستی و هم غیرزیستی نقش دارد. شناسایی این گونه ژنهای با کارکرد پاسخ به تنشهای زیستی و غیر زیستی می‌تواند پیشرفت بزرگی در جهت انتخاب ژنهای کاندید مناسب جهت دستورالعمل ژنتیکی به منظور افزایش تحمل به تنشها در گیاهان به شمار رود.

واژه‌های کلیدی: *CAT2*, *TRX5*, آنالیز پروموتور، بیان ژن

\* نویسنده مسئول، تلفن: ۰۷۱۳۶۱۳۹۹۴۰، پست الکترونیکی: zahrazinati@shirazu.ac.ir

### مقدمه

منجر به افزایش تحمل شود، حمایت می‌کند (۱۴، ۲۰ و ۳۲). تنظیم بیان ژن شامل یک شبکه مولکولی پیچیده می‌باشد. پروموتراها نقش مهمی در تنظیم بیان ژن در مراحل مختلف رشدی و پاسخ به محیط دارند. رونویسی از ژن‌ها در درجه اول توسط شناسایی عوامل رونویسی متصل شونده به DNA (TF= Transcription factors) و اتصالشان به در سیستمهای کشاورزی، تنشهای غیرزیستی و زیستی باعث تفاوت عملکرد برداشت شده نسبت به عملکرد بالقوه می‌شوند. شواهد زیادی وجود دارند که بیانگر تغییر بیان ژنهای گیاهی در اثر تنشهای مختلف هستند که احتمالاً به دلیل نقش آنها در مکانیسمهای تحمل می‌باشد. مطالعه گیاهان تاریخته این نظریه را که تغییر بیان ژنها می‌تواند

*CAT2* و *TRX5* از تلفیق آنالیز مقایسه‌ای پرموترها و داده‌های بیان ژن استفاده شد. این مطالعه اولین گزارش پیرامون بررسی مقایسه‌ای پرموتر ژنهای رمز کننده *CAT2* و *TRX5* می‌باشد.

### مواد و روشها

آنالیز مقایسه‌ای پرموترهای ژنهای *CAT2* و *TRX5* توالي پرموتر ژنهای *CAT2* و *TRX5* (شامل ۱۵۰۰ جفت باز بالادست نقطه آغاز رونویسی) از پایگاه اطلاعاتی www.phytozome.net دریافت شد. برای شناسایی نوع و تعداد عناصر تنظیمی توالي‌های پرموتری، از سایت <http://bioinformatics.psb.ugent.be/webtools/plantcare/html> استفاده گردید. به منظور تعیین تفاوت‌های معنی‌دار در تعداد تکرارهای هر کدام از عناصر تنظیمی سیس بین پرموترها، Fisher, Audic and Claverie, Greller and Tobin, Chi-squared 2×2, exact test R of, Chi-squared 2×2, exact test Stekel and Falciani و General Chi-squared با در نظر گرفتن P-value<0.05 و با به کارگیری ابزار IDEG6 (۲۹) استفاده شد (۳۴).

بررسی الگوی بیان ژنهای *CAT2* و *TRX5* در پاسخ به تشنهای مختلف زیستی و غیر زیستی: سایت-*BAR* (Bio-Array Resource for Plant Biology) (http://bar.utoronto.ca) به منظور دریافت داده‌های بیان ژنهای *CAT2* (AT4G35090) و *TRX5* (AT1G45145) در تشنهای مختلف زیستی و غیر زیستی مورد استفاده قرار گرفت. این سایت برای جستجو و اکتشاف در میان مجموعه داده‌های بزرگ مقیاس ریزآرایه و پروژه‌های با بازدهی بالا در آراییدوپسیس و گونه‌های دیگر استفاده می‌شود. به منظور تسهیل تفسیر و آنالیز داده‌های بیان حاصل از آزمایش‌های ریزآرایه و پروژه‌های با بازدهی بالا، نرمافزاری با نام electronic Fluorescent Pictograph (eFP) browser (Winter ۲۰۰۷) و همکاران در سال ایجاد شده است که در سایت BAR قابل دسترس می‌باشد

TFBS= Transcription factor binding site (site) یا عناصر تنظیمی سیس (elements) در منطقه تنظیمی (پرموتر) کنترل می‌شود و سیس به فعال شدن یا سرکوبی رونویسی در پاسخ به تغییرات محیطی و در طی نمو منجر می‌گردد (۲۷). بنابراین شناسایی عناصر تنظیمی رونویسی یکی از گامهای اساسی برای فهم شبکه تنظیمی رونویسی است که در نهایت اطلاعات لازم را برای ساخت مدل‌های شبکه‌های تنظیمی فراهم می‌سازد (۲۳). پرموتر منطقه بالادست (TSS= Transcription start site) مجاور شروع نقطه رونویسی (TSS) می‌باشد. هر ژن دارای ترکیبی منحصر به فرد از عناصر تنظیمی در نواحی پرموتری خود می‌باشد که الگوی بیان زمانی و مکانی آن ژن را تعیین می‌کند. پیشرفتهای اخیر تکنولوژی ریزآرایه و در دسترس بودن تعداد زیادی از تواليهای ژنوم کامل، استفاده از روش‌های محاسباتی را جهت یافتن عناصر تنظیمی و شفاف سازی شبکه تنظیمی (TRX5) *Thioredoxin H5* امکان پذیر ساخته است (۲۷). یکی از هشت عضو متعلق به خانواده *Thioredoxin H* می‌باشد (۲۵ و ۲۶). در گیاهان *Thioredoxin H* در طول جوانه زنی و نمو اولیه گیاهچه (۵، ۱۸ و ۴۰) و احتمالاً جذب سولفات (۲۶)، زخم، ریزش و پیری، برهmekنش‌های ناسازگار با پاتوژن، تشک اکسیداتیو (۲۱) شرکت دارد. وجود آنها در شیره آوندی برنج و طیف وسیعی از گونه‌های تک لپه و دولپه نشان می‌دهد که آنها می‌توانند به عنوان پروتئینهای پیام رسان عمل کنند (۱۷ و ۳۳). *CAT2* (Catalase 2) نیز یکی از سه ژن خانواده کاتالاز می‌باشد (۱۱). کاتالاز جزئی از ماشین دفاعی آنتی اکسیدانی در گیاهان در مقابل صدمات تشک اکسیداتیو است. *CAT2* از کنترل کننده‌های اصلی  $H_2O_2$  است که به هم ایستایی گونه‌های اکسیژن فعال کمک می‌کند (۱۳). علاوه بر این، فعالیت کاتالاز در تشنهای سرما و خشکی افزایش می‌یابد (۹). در این پژوهش به منظور شناسایی ارتباط عناصر تنظیمی سیس با الگوی بیان ژنهای رمز کننده

بررسی توالی پرموتری ژنهای *CAT2* و *TRX5* ۳۱ عنصر تنظیمی سیس را در هر ژن پیش بینی کرد. ۱۹ عنصر تنظیمی بین دو پرموتر مشترک بود. ۱۲ عنصر تنظیمی خاص *CAT2* و ۱۲ عنصر تنظیمی نیز خاص *TRX5* بود. عمدۀ ترین عنصر تنظیمی در نواحی پرموتری ژنهای *CAT2* و *TRX5* CAAT-box و TATA-box بودند که به ترتیب توالی شروع رونویسی (۶) و توالی افزاینده (۲۸) می‌باشند.

نتایج آزمونهای آماری نشان داد ۸ عنصر تنظیمی یعنی Unnamed\_4, ABRE, CAAT-box, ARE, TATA-box, W box, Box-W1 و TGA-element پرموترهای ژنهای *CAT2* و *TRX5* دارای تعداد تکرار متفاوت و معنی‌داری بودند (جدول ۱). از این تعداد، عنصر تنظیمی ARE خاص ژن *CAT2*, سه عنصر تنظیمی-Box, W1 و TGA-element و W box خاص ژن *TRX5* و چهار عنصر تنظیمی ABRE, Unnamed\_4, CAAT-box و TATA-box بین دو پرموتر مشترک بودند.

الگوی بیان ژنهای *CAT2* و *TRX5* در تنشهای مختلف زیستی و غیر زیستی در شکلهای ۱، ۲ و ۳ ارائه شده است. همچنین ضرایب همبستگی بیان ژنهای *CAT2* و *TRX5* تحت تنشهای مختلف غیر زیستی و زیستی در جدول ۲ نشان داده شده است. همبستگی مثبت بیانگر روند تغییرات بیان نسبتاً مشابه و همبستگی منفی نشان دهنده روند تغییرات بیان متفاوت ژنهای *CAT2* و *TRX5* تحت تنشهای مختلف غیر زیستی و زیستی می‌باشد. بین بیان دو ژن در تنش شوری و اشعه ماوراء بنسخ (در بافت شاخساره) و تنش سرما (در بافت ریشه) همبستگی منفی معنی‌داری وجود داشت. به علاوه آنالیز همبستگی بیان ژنهای *CAT2* و *TRX5* تحت تنشهای مختلف غیرزیستی و زیستی نشان داد که در اکثر تنشها همبستگی بیان ژنهای *CAT2* و *TRX5* منفی می‌باشد، هرچند این همبستگی از لحاظ آماری معنی‌داری نبود. آنالیز مقایسه‌ای پرموتر می‌تواند راهکار

(۴۱). موتور مرورگر Arabidopsis eFP داده‌های بیان تقریباً ۲۲۰۰۰ ژن در آرابیدوپسیس که توسط کنسرسیوم AtGenExpress (کنسرسیوم بین المللی کشف ترانسکریپتوم آرابیدوپسیس) و آزمایشگاه‌های دیگر تولید شده است را ارائه می‌دهد. تقریباً بیشتر از ۱۰۰۰ مجموعه داده ریزآرایه در این نرمافزار بارگذاری شده است. در مرورگر Arabidopsis eFP پس از وارد کردن IDهای ژن مورد بررسی، انتخاب منبع داده‌ها از لیست پیش فرض و انتخاب روش تفسیری بیان ژن (مطلق، نسبی و مقایسه‌ای)، مقادیر نرمال شده بیان ژن مورد نظر، بازیابی می‌شود. علاوه بر این، سایر جزئیات آزمایشها، از قبیل تعداد تکرارها، شرایط رشدی، نحوه اعمال تیمارها و نوع روش نرمال سازی داده‌ها در سایت BAR قابل دسترس می‌باشند (۴۱). در مطالعه حاضر با انتخاب روش‌های زیستی و غیر زیستی از لیست پیش فرض منبع داده‌ها و انتخاب روش تفسیری مطلق در مرورگر Arabidopsis eFP، داده‌های بیان مطلق ژنهای *CAT2* و *TRX5* مربوط به بافت شاخساره و ریشه گیاه آرابیدوپسیس (اکوتیپ Clumbia-0) ۱۸ روزه، در زمانهای ۰، ۰/۵، ۱، ۳، ۶، ۱۲، ۲۴ ساعت پس از اعمال تنشهای غیر زیستی (شوری، سرما، اسمزی، ژنوتوكسیک، خشکی، اکسیداتیو، اشعه ماوراء بنسخ، زخم و گرما) و همچنین داده‌های بیان مطلق ژنهای *CAT2* و *TRX5* در شاخساره گیاه آرابیدوپسیس ۴ هفتاهی، در زمانهای ۲ و ۶ و ۲۴ ساعت پس از اعمال تنشهای زیستی (باکتریهای غیر بیماریزای *Pseudomonas Syringae*، باکتریهای بیماریزای *Phytophthora Pseudomonas Syringae* و قارچ *infestans*) دریافت شدند. همبستگی بین الگوی بیان دو ژن *CAT2* و *TRX5* در تنشهای مختلف زیستی و غیر زیستی نیز با استفاده از نرمافزار SAS تعیین شد. در نهایت، ارتباط بین الگوی بیان ژنها و نتایج حاصل از بخش آنالیز مقایسه‌ای پرموترها بررسی گردید.

## نتایج

مناسبی برای توجیه بخشی از این روند تغییرات بیان و غیرزیستی باشد.  
متفاوت دو ژن *CAT2* و *TRX5* در پاسخ به تنشهای زیستی

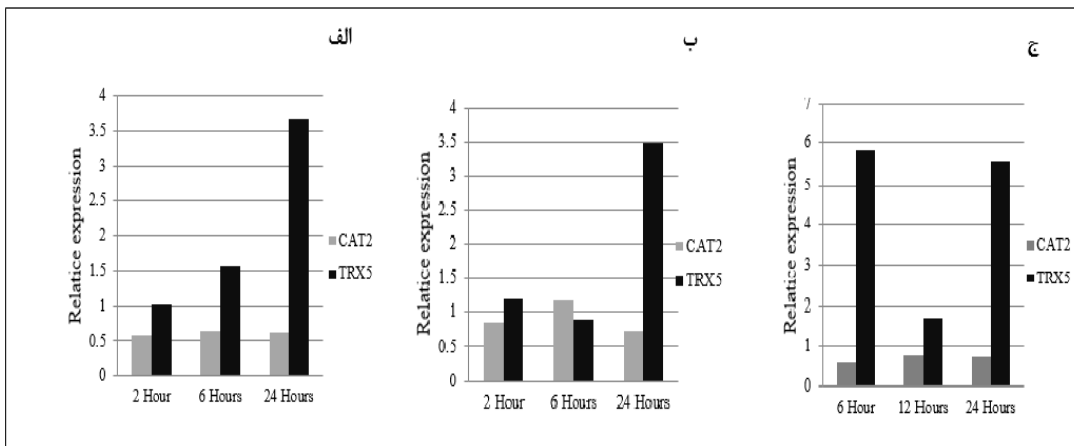
جدول ۱- نتایج مقایسه جفتی تعادل تکرارهای عناصر تنظیمی واقع در نواحی پرموتری ژنهای *CAT2* و *TRX5* با استفاده از آزمونهای آماری Audic General Chi-squared R of Stekel and Falciani ,Greller and Tobin ,Chi-squared 2X2 ,Fisher exact test and Claverie آزمون برای هر عنصر تنظیمی آورده شده است.

Cis-acting elements	کارکرد	CAT2	TRX5	CAT2 (norm)	TRX5 (norm)	Audic and Claverie	Fisher exact test	Chi-squared 2x2	Greller and Tobin	R of Stekel and Falciani	General Chi-squared
<b>ABRE</b>	cis-acting element involved in the abscisic acid responsiveness	10	1	657.9	88.5	0.0103	0.0269	0.0215	.	0.0133	0.0215
<b>ARE</b>	cis-acting regulatory element essential for the anaerobic induction	4	0	263.2	0	0.0620	0.1384	0.0822	.	0.0349	0.0822
<b>CAAT-box</b>	common cis-acting element in promoter and enhancer regions	30	14	1973.7	1238.9	0.0248	0.1337	0.1119	.	0.1400	0.1119
<b>TATA-box</b>	core promoter element around -30 of transcription start	62	52	4078.9	4601.8	0.03498	0.4518	0.3952	0.1531	0.5201	0.3952
<b>Unnamed_4</b>		1	5	65.8	442.5	0.02783	0.0866	0.0414	.	0.0396	0.0414
<b>Box-W1</b>	fungal elicitor responsive element	0	3	0	265.5	0.0444	0.0763	0.0433	.	0.0237	0.0433
<b>TGA-element</b>	auxin-responsive element	0	5	0	442.5	0.0080	0.0133	0.0088	.	0.0035	0.0088
<b>W box</b>	pathogen-induced activity	0	3	0	265.5	0.0444	0.0763	0.0433	.	0.0237	0.0433

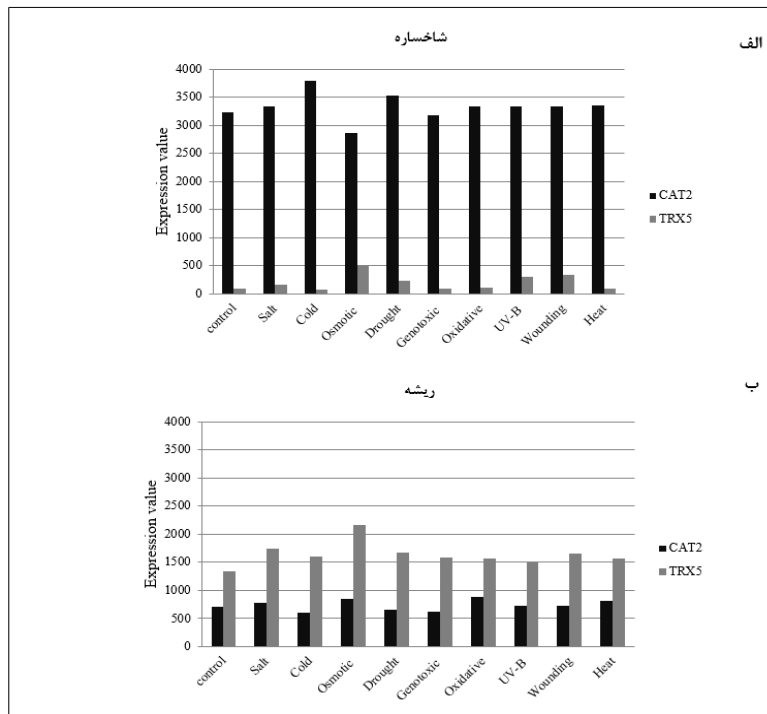
جدول ۲- همبستگی بیان ژنهای *CAT2* و *TRX5* تحت تنشهای مختلف غیر زیستی و زیستی

مشتری	سرما	اسفنا	گندم	زنگوکی	آکسیدانو	اشده مادراء بنش	زنگ	گرما	بکتری غیر پیمارازی <i>Pseudomonas syringae</i>	بکتری پیمارازی <i>Pseudomonas syringae</i>	قارچ <i>Phytophthora infestans</i>
شاخصاره	-0/181**	-0/450	-0/599	-0/735	0/222	0/654	-0/790*	-0/022	0/415	0/977	-0/046
ریشه	0/100	-0/966**	0/675	0/164	-0/325	0/267	-0/352	0/077	0/600		

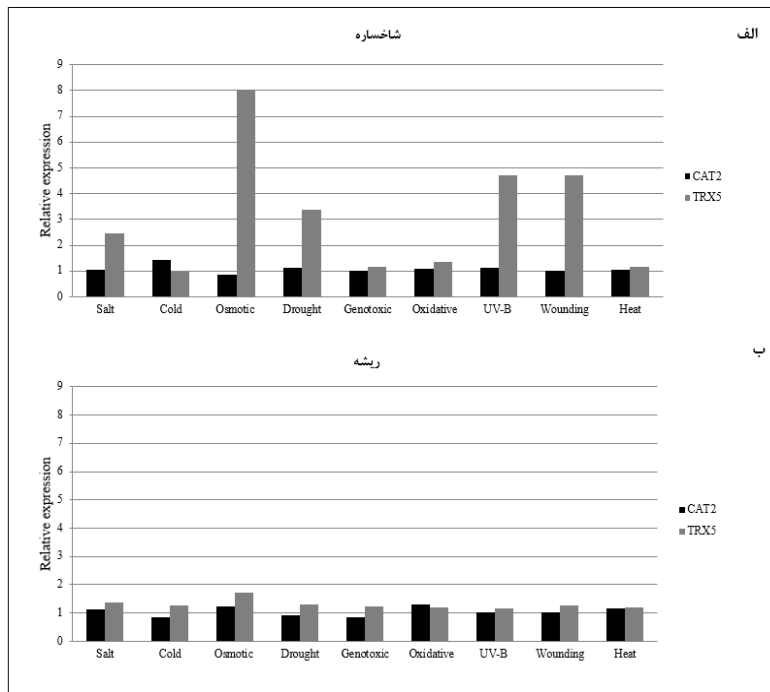
علامت \* نشان دهنده معنی داری در سطح ۵٪ و علامت \*\* نشان دهنده معنی داری در سطح ۱٪ می باشد.



شکل ۱- الگوی بیان ژنهای *CAT2* و *TRX5* در تنشهای (الف) باکتری غیر بیماریزای *Pseudomonas syringae* (ب) باکتری بیماریزای *Phytophthora infestans* در بافت شاخصاره (ج) قارچ *Pythium syringae*



شکل ۲- میزان بیان مطلق ژنهای *CAT2* و *TRX5* در شرایط نرمال و تنشهای غیر زیستی (شوری، سرما، اسمزی، خشکی، ژنوتوكسیک، اکسیداتیو، اشعه ماوراء بنفش، زخم و گرما) در بافت شاخصاره (الف) و بافت ریشه (ب)



شکل ۳- میزان بیان نسبی ژنهای *CAT2* و *TRX5* در شرایط نرمال و تنشهای غیر زیستی (شوری، سرما، اسمری، خشکی، ژنتوکسیک، اکسیداتیو، اشعه ماده، بفک، زخم و گرمای) در بافت شاخساره (الف) و بافت ریشه (ب)

*CAT2* بود. از سوی دیگر، آنالیز بیان ژن نشان داد که در

## بحث

شرایط تنش پاتوژن نسبت به شرایط کنترل، بیان ژن *TRX5* به میزان قابل توجهی افزایش می‌یابد در حالی که بیان ژن *CAT2* کاهش می‌یابد (شکل ۱). بنابراین تعداد بیشتر عناصر تنظیمی W box و Box-W1 در ناحیه پروموتوری ژن *TRX5* می‌تواند دلیلی بر افزایش بیشتر بیان این ژن در شرایط تنش پاتوژن نسبت به شرایط کنترل باشد.

بررسی الگوی بیان ژنهای *CAT2* و *TRX5* در پاسخ به تنشهای غیرزیستی: یکی دیگر از عناصری که به طور اختصاصی در نواحی پروموتوری ژن *CAT2* وجود داشت و بین پروموترهای دو ژن تفاوت معنی‌داری نشان داد ARE (عنصر پاسخ بی‌هوایی) با توالی TGGTTT بود. مطالعات پیشین نشان دادند که یک پروتئین از خانواده MYB (عامل روئویسی *AtMYB2*) به عنصر تنظیمی ARE با توالی TGGTTT متصل می‌شود (۷ و ۱۶). برهمنکش بین عامل

بررسی الگوی بیان ژنهای *CAT2* و *TRX5* در پاسخ به تنشهای زیستی: بر اساس نتایج حاصل از آنالیز پروموتور، عنصر تنظیمی W box به طور اختصاصی در نواحی پروموتوری ژن *TRX5* وجود داشت. این عنصر تنظیمی جایگاه اتصال عامل روئویسی WRKY و برای فعالیت ژن در برابر عامل بیماریزا ضروری می‌باشد (۱۵). در پژوهشی که توسط Laloی و همکاران (۲۰۰۴) انجام شد در گیاهان با بیان بالای WRKY6، بیان ژن *TRX5* افزایش یافت. آنها گزارش کردند که WRKY6 در تنظیم بیان *TRX5* درگیر است (۲۱). موتیف Box-W1 نیز که بطور اختصاصی در نواحی پروموتوری ژن *TRX5* وجود داشت، عنصر تنظیمی پاسخ به حمله پاتوژن می‌باشد (۳۰). تعداد عناصر تنظیمی Box-W1 و W box در ناحیه پروموتوری ژن *TRX5* به طور معنی‌داری بیشتر از تعداد آن در ناحیه پروموتوری ژن

عملکرد گیاهان کلزای تحت تنش خشکی زمانی که غلظت پایین آبسزیک اسید اعمال شد در مقایسه با گیاهان کلزای تحت تنش خشکی افزایش یافت (۱).

بررسی داده‌های بیان ژن نشان داد که میزان بیان ژن *CAT2* در شاخصاره تحت شرایط نرمال و تنشهای مختلف غیر زیستی بیشتر از ژن *TRX5* بود در حالی که در ریشه عکس آن صادق بود. به عبارتی میزان بیان ژن *TRX5* در ریشه تحت شرایط نرمال و تنشهای مختلف غیر زیستی بیشتر از ژن *CAT2* بود (شکل ۲). *CAT2* به عنوان کاتالاز القاء شونده توسط نور شناخته شده است و بیان آن یک تناوب شبانه روزی با حداکثر بیان در صبح زود را نشان می‌دهد (۴۴) و (۴۵). همچنین ناکارآبی *CAT2*، مقاومت به نور زیاد را در گیاهان آرابیدوپسیس کاهش می‌دهد (۳۸). و همکاران (۲۰۰۸) گزارش کردند که *CAT2* عمدتاً در بافت‌های فتوستراتی از جمله برگها بیان می‌شود و میزان بیان آن بالاتر از *CAT1* و *CAT3* می‌باشد. به علاوه فعالیت آن در تنشهای سرما، خشکی و اکسیداتیو افزایش می‌یابد (۹). بررسی عناصر تنظیمی نواحی پروموتوری نشان داد که عناصر تنظیمی پاسخ به نور با توالیهای متفاوت در *CAT2* و *TRX5* به ترتیب ۱۸ و ۱۲ عدد می‌باشد. از آنجا که بافت شاخصاره در معرض روشنایی و بافت ریشه درون خاک در معرض تاریکی قرار دارد، احتمالاً می‌توان میزان بیان بالاتر ژن *CAT2* نسبت به ژن *TRX5* در بافت شاخصاره و کمتر بودن میزان آن در بافت ریشه را به این عنصر تنظیمی نسبت داد.

بررسی بیان نسبی ژنهای *CAT2* و *TRX5* در بافت شاخصاره و ریشه نیز نشان داد که بیان ژن *CAT2* تحت تنشهای مختلف غیر زیستی تفاوت معنی‌داری با شرایط کنترل ندارد. بیان ژن *TRX5* در بافت شاخصاره تحت تنشهای مختلف غیر زیستی به میزان قابل توجهی افزایش یافت ولی در بافت ریشه تحت تنشهای مختلف تغییر بیان محسوسی وجود نداشت (شکل ۳). *Taji* و همکاران

رونویسی *AtMYB2* و توالی TGGTTT نشان داد که توالی TGGTTT نقش مهمی در نواحی پروموتوری ژنهای پاسخ دهنده به تنش ایفاء می‌کند (۷). خانواده MYB بزرگترین خانواده عوامل رونویسی در آرابیدوپسیس می‌باشند که در فرآیندهای سلولی مختلف شرکت دارند (۱۰ و ۴۳). *MYB2* به عنوان عامل رونویسی هورمونهای آبسزیک اسید (ABA) و اتیلن (ET) در شرایط تنش عمل می‌کند (۸ و ۴۳) و همچنین بیان تعدادی از ژنهای پاسخ دهنده به شوری و خشکی را مدیریت می‌کند (۳، ۷ و ۱۰). به نظر ARE‌ها در شبکه‌های تنظیمی طیف گسترده‌ای از تنشهای غیر زیستی از جمله تنشهای بی‌هوایی، خشکی و شوری با میانجیگری هورمونهای ABA و ET دخیل باشند (۳۱).

به علاوه، در نواحی پروموتوری ژنهای *TRX5* و *CAT2* به ترتیب ۱ و ۱۰ عنصر پاسخ دهنده به (ABRE) ABA و همکاران Skriver وجود داشت. و همکاران (۱۹۹۱) گزارش دادند که وجود چند نسخه از ABRE در یک پروموتور، امکان پاسخ به ABA را به آن پروموتور می‌دهد در حالی که وجود تنها یک نسخه از ABRE در پروموتور، منجر به عدم پاسخ پروموتور به ABA می‌شود (۳۶). در پژوهشی که توسط رهنما و وکیلیان (۱۳۹۲) انجام شد فعالیت القایی پروموتور *Rd29A* پس از همسانه‌سازی از گیاه آرابیدوپسیس در گیاه توتون مورد بررسی قرار گرفت. بر اساس نتایج حاصل از این پژوهش، ABA، تنش شوری و تنش خشکی باعث القای پروموتور *Rd29A* گردید. آنها پیشنهاد کردند که با توجه به حضور عنصر ABRE در پروموتور *Rd29A* احتمالاً تنش شوری و خشکی با استفاده از سیگنال در القای پروموتور عمل می‌کنند (۲). حضور تعداد زیاد *ABRE* در نواحی پروموتوری *CAT2* نشان می‌دهد که مسیر سیگنالینگ ABA در تنظیم بیان این ژن نقش دارد و لذا سطح ABA در پاسخ به تنشهای غیر زیستی مانند خشکی و شوری افزایش می‌یابد (۴۲). در پژوهشی که توسط جعفریه یزدی و همکاران (۲۰۰۷) انجام شد،

تغییر بیان ژن *CAT2* تحت تنشهای مختلف غیر زیستی محسوس نبود شاید بتوان القای *TRX5* در تنشهای غیرزیستی را به حضور این عنصر تنظیمی در نواحی پروموتّری آن نسبت داد.

عنصر تنظیمی دیگر با اختلاف معنی‌دار بین نواحی پروموتّری دو ژن، *4\_Unnamed* با توالی CTCC و *TRX5* با ترتیب ۵ و ۱ بود. کارکرد این عنصر تنظیمی *CAT2* به دلایل القای بیان *TRX5* تحت تنشهای مختلف ناشی از عنصر تنظیمی CTCC باشد. به عبارتی این عنصر تنظیمی در پاسخ به تنشهای غیرزیستی نقش داشته باشد. این فرضیه برای اثبات نیاز به آنالیز پروموتّری ژنهای بیشتری دارد. تا کنون مطالعات زیادی پیرامون کارکرد دقیق این عنصر تنظیمی انجام نشده است. با این حال، در پژوهشی که توسط Shumin و همکاران (۲۰۱۵) انجام شد، با توجه به حضور این عنصر در چند ژن تنظیمی *AtMYB103*, *AMS*, *DYTI* پیشنهاد شد که این عنصر تنظیمی احتمالاً به طور گستره‌ای در تنظیم بیان ژنی خاص بساک نقش دارد. آنها بیان کردنده موتیف *4\_Unnamed* با توالی CTCC یک عنصر تنظیمی بالقوه می‌باشد که یک سرخ جدید برای بررسی ارتباط بین *DYTI* و ژنهای بالادست آن فراهم می‌کند (۳۵). در پژوهش دیگری که توسط Ku و همکاران (۲۰۱۱) انجام شد، تغییر توالی CCCC به توالی CTCC در ناحیه ۵'-UTR ژن *TAC1* (ژن کنترل کننده زاویه برگ) در ذرت منجر به افزایش بیان این ژن و تغییر زاویه برگ گردید (۱۹).

تلغیق نتایج آنالیز مقایسه‌ای پروموتّر و نتایج الگوی بیان ژنهای، ارتباط قوی و آشکاری را بین بیان ژنهای و عناصر تنظیمی سیس شناسایی شده نشان داد. با بررسی عناصر تنظیمی موجود در نواحی پروموتّر مشخص گردید که

(۲۰۰۴) نشان دادند که تحت تنش  $250\text{mM NaCl}$  تعداد ژنهای کمتری در خویشاوند وحشی متحمل آرابیدوپسیس (*Thellungiella halophila*) در مقایسه با آرابیدوپسیس القا شد. این مطلب می‌تواند تأکیدی بر این نکته باشد که تحمل به تنش در *Thellungiella halophile* ممکن است ناشی از بیان بالای دائمی چندین ژن درگیر در تحمل به شوری باشد در حالی که این ژنهای در آرابیدوپسیس القاء شونده هستند (۳۷). همچنین از یک سو (۲۰۰۸) با توجه به پژوهشی که توسط Du و همکاران (۲۰۰۸) انجام شد که در آن فعالیت *CAT2* در تنشهای سرما، خشکی و اکسیداتیو در گیاهان آرابیدوپسیس افزایش یافت و از سوی دیگر با توجه به عدم تغییر بیان این ژن در سطح رونویسی در تنشهای مختلف، به نظر می‌رسد فعالیت این ژن وابسته به تنظیم در سطح پس از رونویسی باشد (۹).

*TRX5* به دلیل دارا بودن چندین عنصر (عنصر پاسخ به اکسین) در نواحی پروموتّر، جزء ژنهای پاسخ دهنده به اکسین می‌باشد. این عنصر تنظیمی نیز به طور اختصاصی در نواحی پروموتّری ژن *TRX5* وجود داشت. Wang و همکاران (۲۰۰۱) نشان دادند که هورمون اکسین در پاسخ به تنشهای غیر زیستی در آرابیدوپسیس دخیل است (۳۹). همچنین در پژوهشی که توسط Ghanashiam و Jain (۲۰۰۹) انجام شد تعداد زیادی ژن پاسخ دهنده به اکسین علاوه بر تنشهای غیر زیستی به تنش زیستی نیز پاسخ دادند. نتایج آزمایشات حاکی از آن بود که اکسین یکی از اجزای مهم درگیر در پاسخهای دفاعی از طریق تنظیم بیان بسیاری از ژنهای می‌باشد و تداخلی بین مسیرهای انتقال پیام تنشهای زیستی و غیرزیستی ایجاد می‌کند (۱۲). Bari و Jones نیز شواهدی برای درگیری مسیر انتقال پیام اکسین در پاسخهای دفاعی ارائه دادند (۴). از آنجا که تعداد این عنصر تنظیمی در نواحی پروموتّری ژن *TRX5* و *CAT2* به ترتیب ۵ و ۰ بود و نیز بیان ژن *TRX5* در بافت شاخصاره تحت تنشهای مختلف غیر زیستی به میزان قابل توجهی افزایش یافت و با توجه اینکه

در کل *TRX5* هم در پاسخ به تنشهای زیستی و هم غیرزیستی نقش دارد. شناسایی این گونه ژنها با کارکردهای مقاومت در تنشهای زیستی و غیر زیستی پیشرفت بزرگی در زمینه انتقال ژن به شمار می‌رود. به علاوه شناسایی عناصر تنظیمی می‌تواند افق جدیدی را در درک مکانیسم پاسخ به تنشها و ارتباط ژنهای مورد نظر با ژنهای بالادست باز نماید.

ژن *TRX5* با دارا بودن عناصر اختصاصی تنظیمی پاسخ به پاتوژن (W box و Box-W1) و پاسخ به اکسین (-element) در پاسخ به تنش زیستی نقش مؤثری ایفا می‌کند. همچنین ژن *TRX5* با دارا بودن عنصر تنظیمی *CAT2* (TGA-element) و ژن *CAT2* با دارا بودن عناصر تنظیمی پاسخ بی‌هوایی (ARE) و پاسخ به آبسزیک اسید (ABRE) در تنشهای غیر زیستی نقش دارند.

## منابع

۱. رهنماح. و مجذ. ا. ۱۳۹۲. همسانه‌سازی و ارزیابی فعالیت پیشبر *Rd29A* در گیاهان تاریخت توتون. مجله پژوهش‌های سلولی و مولکولی (مجله زیست‌شناسی ایران)، جلد ۲۶. شماره ۴. ص ۴۸۰-۴۹۰.
۲. جعفریه یزدی ا.، مجذ. ا.، فلاحیان ف.، خاوری نژاد ر.، برنارد ف. و جاویدفر ف. ۱۳۸۵. مجله زیست‌شناسی ایران، جلد ۱۹. شماره ۲. ص ۱۲۵-۱۳۵.
3. Abe H., Urao T., Ito T., Seki M., Shinozaki K. and Yamaguchi-Shinozaki K. 2003. *Arabidopsis AtMYC2* (bHLH) and *AtMYB2* (MYB) function as transcriptional activators in abscisic acid signaling. *Plant Cell*, 15: 63-78.
4. Bari R. and Jones J.D.G. 2009. Role of plant hormones in plant defence responses. *Plant Molecular Biology*, 69:473-88.
5. Besse I., Wong J.H., Kobrehel K. and Buchanan B.B. 1996. Thiocalcin: a thioredoxin-linked, substrate-specific protease dependent on calcium. *Proceedings of the National Academy of Sciences of the United States of America*, 93: 3169-3175.
6. Burley S.K. and Roeder R.G. 1996. Biochemistry and structural biology of transcription factor IID (TFIID), *Annual Review of Biochemistry*, 65: 769-799.
7. Dolferus R., Klok E.J., Ismond K., Delessert C., Wilson S., Good A., Peacock J. and Dennis L. 2001. Molecular basis of the anaerobic response in plants. *International Union of Biochemistry and Molecular Biology life*, 51: 79-82.
8. Du H., Zhang L., Liu L., Tang X.F., Yang W.J. and Wu Y.M. 2009. Biochemical and molecular characterization of plant MYB transcription factor family. *Biochemistry (Moscow)*, 74: 1-11.
9. Du Y.Y., Wang P.C., Chen J. and Song C.P. 2008. Comprehensive functional analysis of the catalase gene family in *Arabidopsis thaliana*. *Journal of Integrative Plant Biology*, 50:1318-1326.
10. Dubos C., Stracke R., Grotewold E., Weisshaar B., Martin C. and Lepiniec L. 2010. MYB transcription factors in *Arabidopsis*. *Trends in Plant Science*, 15: 573-581.
11. Frugoli J.A., Zhong H., Nuccio M.L., McCourt P., McPeek M.A., Thomas T.L. and McClung C.R. 1996. Catalase is encoded by a multigene family in *Arabidopsis thaliana* (L.) Heynh. *Plant Physiology*, 112: 327-336.
12. Ghanashyam C. and Jain M. 2009. Role of auxin-responsive genes in biotic stress responses. *Plant Signaling and Behavior*, 4: 846-848.
13. Gill S.S. and Tuteja N. 2010. Reactive oxygen species and antioxidant machinery in abiotic stress tolerance in crop plants. *Plant Physiology and Biochemistry*, 48: 909-930.
14. Hao D., Liu X., Yu Y., Liu Y., Qu Y., Yang S., Han S. and Feng S. 2014. A novel chitinase gene homologue from Chinese wild rye enhances tolerance to biotic and abiotic stress in transgenic tobacco. *New Biotechnology*, 31: S207.
15. Himmelbach A., Liu L., Zierold U., Altschmied L., Maucher H., Beier F., Müller D., Hensel G., Heise A., Schützendübel A., Kumlehn J. and Schweizer P. 2010. Promoters of the barley germin-like *GER4* gene cluster enable strong transgene expression in response to pathogen attack. *Plant Cell*, 22: 937-952.

16. Hoeren F.U., Dolferus R., Wu Y., Peacock W.J. and Dennis E.S. 1998. Evidence for a role for *AtMYB2* in the induction of the *Arabidopsis alcohol dehydrogenase* gene (*ADH1*) by low oxygen. *Genetics*, 149: 479-490.
17. Ishiwatari Y., Honda C., Kawashima I., Nakamura S., Hirano H., Mori S., Fujiwara T., Hayashi H. and Chino M. 1995. Thioredoxin h is one of the major proteins in rice phloem sap. *Planta*, 195: 456-463.
18. Kobrehel K., Wong J.H., Balogh A., Kiss F., Yee B.C. and Buchanan B.B. 1992. Specific reduction of wheat storage proteins by thioredoxin h. *Plant Physiology*, 99: 919-924.
19. Ku L., Wei X., Zhang S., Zhang J., Guo S. and Chen Y. 2011. Cloning and characterization of a putative *TAC1* ortholog associated with leaf angle in maize (*Zea mays* L.). *PLoS ONE*, 6: e20621.
20. Kumar S., Asif M., Chakrabarty D., Tripathi R.D., Dubey R.S. and Trivedi P.K. 2015. Expression of a rice Lambda class of glutathione S-transferase, *OsGSTL2*, in *Arabidopsis* provides tolerance to heavy metal and other abiotic stresses. *Journal of Hazardous Materials*, 248-249: 228-237.
21. Laloi C., Mestres-Ortega D., Marco Y., Meyer Y. and Reichheld J.P. 2004. The *Arabidopsis* cytosolic thioredoxin *h5* gene induction by oxidative stress and its W-Box-mediated response to pathogen elicitor. *Plant Physiology*, 134: 1006-16.
22. Laloi C., Rayapuram N., Chartier Y., Grienberger J.M., Bonnard G. and Meyer Y. 2001. Identification and characterization of a mitochondrial thioredoxin system in plants. *Proceedings of the National Academy of Sciences of the United States of America*, 98: 14144-14149.
23. Lee T.I., Rinaldi N.J., Robert F., Odom D.T., Bar-Joseph Z., Gerber G.K., Hannett N.M., Harbison C.T., Thompson C.M., Simon I., Zeitlinger J., Jennings E.G., Murray H.L., Gordon D.B., Ren B., Wysocki J.J., Tagne J.B., Volkert T.L., Fraenkel E., Gifford D.K. and Young R.A. 2002. Transcriptional regulatory networks in *Saccharomyces cerevisiae*. *Science*, 298: 799-804.
24. Marx C., Wong J.H. and Buchanan B.B. 2003. Thioredoxin and germinating barley: targets and protein redox changes. *Planta*, 216: 454-460.
25. Meyer Y., Vignols F. and Reichheld J.P. 2002. Classification of plant thioredoxins by sequence similarity and intron position. *Methods in enzymology*, 347: 394-402.
26. Mouaheb N., Thomas D., Verdoucq L., Monfort P. and Meyer Y. 1998. In vivo functional discrimination between plant thioredoxins by heterologous expression in the yeast *Saccharomyces cerevisiae*. *Proceedings of the National Academy of Sciences of the United States of America*, 95: 3312-3317.
27. Qiu P. 2003. Recent advances in computational promoter analysis in understanding the transcriptional regulatory network. *Biochemical and Biophysical Research Communications*, 309: 495-501.
28. Ramji D.P. and Foka P. 2002. CCAAT/enhancer-binding proteins: structure, function and regulation. *Biochemical Journal*, 365: 561-575.
29. Romualdi C., Bortoluzzi S., Dalessi F. and Danieli G.A. 2003. IDEG6: a web tool for detection of differentially expressed genes in multiple tag sampling experiments. *Physiological Genomics*, 12: 159-162.
30. Rushton P.J., Reinstadler A., Lipka V., Lippok B. and Somssich I.E. 2002. Synthetic plant promoters containing defined regulatory elements provide novel insights into pathogen- and wound-induced signaling. *Plant Cell*, 14: 749-762.
31. Sadeghnezhad E., Askari H., Soltani S. and Honarvar F. 2014. Identification and distribution of anaerobic responsive elements (AREs) in genes functional categorization of *Arabidopsis thaliana*. *Journal of Applied Biotechnology Reports*, 4: 135-141.
32. Safi H., Saibi W., Alaoui M.M., Hmyene A., Masmoudi K., Hanin M. and Brini F. 2015. A wheat lipid transfer protein (TdLTP4) promotes tolerance to abiotic and biotic stress in *Arabidopsis thaliana*. *Plant Physiology and Biochemistry*, 89: 64-75.
33. Schobert C., Baker L., Szederkenyi J., Grossmann P., Komor E., Hayashi H., Chino M. and Lucas W.J. 1998. Identification of immunologically related proteins in sieve-tube exudate collected from monocotyledonous and dicotyledonous plants. *Planta*, 206: 245-252.
34. Shamloo-Dashpaderdi R., Razi H., Aliakbari M., Lindlöf A., Ebrahimi M. and Ebrahimie E. 2015. A novel pairwise comparison method for in silico discovery of statistically significant cis-regulatory elements in eukaryotic promoter

- regions: Application to *Arabidopsis*. *Journal of Theoretical Biology*, 364: 364–376.
35. Shumin Z., Yan C., Hulin S., Bang Z., Licheng S. and Wei Z. 2015. One novel cis-element is essential for correct *DYSFUNCTIONAL TAPETUM 1 (DYT1)* expression in *Arabidopsis thaliana*. *Plant cell reports*, 34: 1773–1780.
36. Skriver K., Olsen F.L., Rogers J.C. and Mundy J. 1991. cis-acting DNA elements responsive to gibberellin and its antagonist abscisic acid. *Proceedings of the National Academy of Sciences of the United States of America*, 88: 7266–7270.
37. Taji T., Seki M., Satou M., Sakurai T., Kobayashi M., Ishiyama K., Narusaka Y., Narusaka M., Zhu J.K. and Shinozaki K. 2004. Comparative genomics in salt tolerance between *Arabidopsis* and *Arabidopsis*-related halophyte salt cress using *Arabidopsis* microarray. *Plant Physiology*, 135: 1697–1709.
38. Vanderauwera S., Zimmermann P., Rombauts S., Vandenabeele S., Langebartels C., Gruissem W., Inzé D. and Van Breusegem F. 2005. Genome-wide analysis of hydrogen peroxide-regulated gene expression in *Arabidopsis* reveals a high light-induced transcriptional cluster involved in anthocyanin biosynthesis. *Plant Physiology*, 139: 806–821.
39. Wang Y., Mopper S. and Hasenstein K.H. 2001. Effects of salinity on endogenous ABA, IAA, JA, and SA in *Iris hexagona*. *Journal of Chemical Ecology*, 27: 327–342.
40. Wong J.H., Kim Y.B., Ren P.H., Cai N., Cho M.J., Hedden P., Lemaux P.G. and Buchanan B.B. 2002. Transgenic barley grain overexpressing thioredoxin shows evidence that the starchy endosperm communicates with the embryo and the aleurone. *Proceedings of the National Academy of Sciences of the United States of America*, 99: 16325–16330.
41. Winter D., Vinegar B., Nahal H., Ammar R., Wilson G.V. and Provart N.J. 2007. An “electronic fluorescent pictograph” browser for exploring and analyzing large-scale biological data sets. *PLoS ONE*, 8:e718.
42. Xiong L. and Zhu J.K. 2003. Regulation of abscisic acid biosynthesis. *Plant Physiology*, 133: 29–36.
43. Yanhui C., Xiaoyuan Y., Kun H., Meihua L., Jigang L., Zhaofeng G., Zhiqiang L., Yunfei Z., Xiaoxiao W., Xiaoming Q., Yunping S., Li Z., Xiaohui D., Jingchu L., Xing-Wang D., Zhangliang C., Hongya G. and Li-Jia Q. 2006. The MYB transcription factor superfamily of *Arabidopsis*: expression analysis and phylogenetic comparison with the rice MYB family. *Plant Molecular Biology*, 60: 107–124.
44. Zhong H. and McClung C. 1996. The circadian clock gates expression of two *Arabidopsis* catalase genes to distinct and opposite circadian phases. *Molecular and General Genetics*, 251: 196–203.
45. Zhong H.H., Young J.C., Pease E.A., Hangarter R.P. and McClung C.R. 1994. Interactions between light and the circadian clock in the regulation of *CAT2* expression in *Arabidopsis*. *Plant Physiology*, 104: 889–898.

## A Comparative Investigation of *Catalase 2* and *Thioredoxin H5* Genes Promoters in *Arabidopsis* to Determine of Their Functions in Response to Biotic and Abiotic Stresses

Zinati Z.<sup>1</sup> and Shamloo-Dashtpagerdi R.<sup>2</sup>

<sup>1</sup> Agroecology Dept., College of Agriculture and Natural Resources of Darab, Shiraz University, Darab, I.R. of Iran

<sup>2</sup> Crop Production and Plant Breeding Dept., College of Agriculture, Shiraz University, Shiraz, I.R. of Iran

### Abstract

In order to investigate of *cis*-regulatory elements' role in the promoter region in the expression pattern of genes *Catalase 2* (*CAT2*) and *Thioredoxin H5* (*TRX5*) in *Arabidopsis* in response to different biotic and abiotic stresses, the promoter sequences of the genes, *cis*-regulatory elements in them, data relating to the expression of these genes in the different stresses were received using Phytozome, PlantCARE and the Bio-Array Resource for Plant Biology, respectively. Significant differences in the number of repetitions of each *cis*-regulatory element among promoters were determined by a variety of statistical methods available at bioinformatics IDEG6 tool. The results showed that eight *cis*-regulatory elements, including ARE, CAAT-box, ABRE, Unnamed-4, Box-W1, TGA-element, W box and TATA-box had significant and different occurrences between two promoters. It can be suggested that gene *TRX5* unlike gene *CAT2* is able to respond to biotic stress due to the presence of a greater number of specific regulatory elements in response to pathogen (Box-W1 and W box) and auxin (TGA-element). Also, a part of the expression pattern of these genes in response to abiotic stresses can be justified due to the presence of different number of repetitions of specific regulatory element in response to auxin (TGA-element) on the *TRX5* gene promoter and anaerobic regulatory element (ARE) and abscisic acid regulatory element (ABRE) on the *CAT2* gene promoter. Based on these results, *TRX5* plays a role in response to biotic and abiotic stresses. Identification of these genes with functional response to biotic and abiotic stresses can be considered a huge progress in order to select candidate genes for genetic manipulation to enhance plants stress tolerance.

**Key words:** *CAT2*, *TRX5*, *Promoter analysis*, *Gene expression*.